

УДК 519.8

П.В. Леончик

АЛГОРИТМ ПОКРЫТИЯ РАЗРЕЖЕННЫХ БУЛЕВЫХ МАТРИЦ

Предлагается алгоритм решения задачи о наименьшем покрытии множества, известной в литературе как задача нахождения кратчайшего столбцового покрытия булевой матрицы. Сравнивается эффективность разработанного алгоритма, реализованного в программе Tie, с эффективностью алгоритма программы Espresso и алгоритма GANP. Приводятся результаты экспериментально-статистических испытаний алгоритма на стандартных примерах серий Benchmark, CLR и Stein, а также на псевдослучайных системах булевых функций.

Введение

Решение ряда логико-комбинаторных задач сводится к рассмотрению некоторых конечных множеств и поиску среди них подмножеств с заданными свойствами. Часто из всех удовлетворяющих подмножеств достаточно найти только одно подмножество, которое в каком-то смысле было бы лучшим. Хорошим примером таких задач является задача о наименьшем покрытии множества.

Минимизация булевых функций в классе дизъюнктивных нормальных форм (ДНФ) – одна из логических задач, которая сводится к задаче наименьшего покрытия множества [1]. По сути, алгоритм, представленный в данной статье, является этапом нахождения покрытия булевой матрицы Квайна в алгоритме минимизации системы булевых функций [2]. Алгоритм покрытия булевой матрицы ориентирован на разреженные булевы матрицы, возникающие при решении задачи минимизации булевых функций в классе ДНФ.

1. Задача о наименьшем покрытии множества

Пусть даны некоторое множество $A = \{a_1, a_2, \dots, a_n\}$ и совокупность его подмножеств B_1, B_2, \dots, B_m , причем $B_1 \cup B_2 \cup \dots \cup B_m = A$. Для решения задачи *наименьшего покрытия множества* A требуется среди данных подмножеств выделить такую совокупность $B_{i_1}, B_{i_2}, \dots, B_{i_k}$ с минимальным k , чтобы каждый элемент из A попал хотя бы в одно подмножество B_{i_j} , где $j = 1, 2, \dots, k$, т. е. $B_{i_1} \cup B_{i_2} \cup \dots \cup B_{i_k} = A$.

Удобно представить исходные данные в виде булевой матрицы M , строки которой соответствуют элементам множества A , а столбцы – подмножествам B_1, B_2, \dots, B_m . В такой булевой матрице в i -й строке j -го столбца ставится единица, если элемент a_i множества A принадлежит подмножеству B_j , т. е. если $a_i \in B_j$. В этом случае говорят, что i -я строка покрывается j -м столбцом. При таком представлении данных задача может быть переформулирована в задачу нахождения *наименьшего* (по мощности) *столбцового покрытия булевой матрицы* M .

2. Алгоритм нахождения столбцового покрытия матрицы M

Для решения задачи покрытия используется алгоритм, состоящий из двух этапов поиска: первого покрытия и покрытий подматриц. Поиск первого покрытия исходной матрицы M производим с помощью *минимаксного* алгоритма [3]. Он представляет собой многошаговый процесс, где на каждом шаге выбирается строка матрицы M с наименьшим числом единиц и из покрывающих ее столбцов в решение включается тот, который покрывает наибольшее число непокрытых строк. По завершении работы минимаксного алгоритма некоторые из столбцов матрицы M , включенные в покрытие, могут оказаться избыточными, т. е. при их

удалении все строки матрицы M останутся покрытыми. После удаления избыточных столбцов получим некоторое решение, которое и будет считаться первым столбцовым покрытием булевой матрицы M .

На втором этапе поиска, разбивая матрицу M на подматрицы и пытаясь найти меньшее (по мощности) столбцовое покрытие каждой подматрицы в отдельности, улучшим общее столбцовое покрытие матрицы M . Очевидно, если X_m – покрытие матрицы M , то любая подматрица W матрицы M будет содержать покрытие $X_w \subseteq X_m$. Улучшая покрытие X_w , улучшаем соответственно и покрытие X_m .

Каждый столбец $k_i \in X_m$ будет являться тем столбцом, на основе которого происходит выбор подматрицы W_i . Если для некоторой подматрицы W_i найдется покрытие $X_{w_i}^*$, которое окажется меньше существующего покрытия X_{w_i} , то замена покрытия X_{w_i} на покрытие $X_{w_i}^*$ приведет к изменению всего покрытия X_m матрицы M . Новое покрытие X_m матрицы M состоит из нового множества столбцов, для которых построение новых подматриц и нахождение для них новых покрытий, в свою очередь, будет приводить к улучшению покрытия X_m матрицы M . Этот процесс будет продолжаться до тех пор, пока будут находиться подматрицы, для которых можно улучшить решение.

3. Алгоритм выбора подматрицы W из матрицы M

Строчная подматрица W матрицы M представляет собой подмножество строк $C_w \subset C$, где C – множество строк матрицы M , со всеми столбцами, покрывающими строки C_w .

Введем понятие *критического* столбца некоторой строки c . Столбец $k \in X_m$ является критическим для строки c , если после удаления столбца k из покрытия X_m строка c окажется непокрытой. *Критическим множеством столбцов* некоторой строки c называется такое множество столбцов покрытия $X_c \subset X_m$, если после удаления из покрытия X_m всех столбцов X_c строка c окажется непокрытой.

Подматрицу W выбираем по следующему алгоритму:

Шаг 1. Первым в подматрицу W включаем столбец $k \in X_m$, выбираемый произвольно.

Шаг 2. Для столбца k находим множество строк C_1 , для которых столбец k является критическим. Такие строки всегда найдутся, так как покрытие X_m безызбыточно.

Шаг 3. Находим множество столбцов K_1 , покрывающих все строки множества C_1 .

Шаг 4. Находим множество строк C_2 , которые покрываются столбцами множества K_1 .

Шаг 5. Находим множество столбцов K_2 , покрывающих строки множества C_2 и являющихся столбцами покрытия X_m .

Шаг 6. Если некоторый столбец $k^* \in K_2$ является критическим столбцом строки $c \notin C_2$, то столбец k^* удаляется из множества K_2 .

Шаг 7. Создаем множество строк $C_3 \subseteq C_2$, которые покрываются всеми столбцами множества K_2 .

Множество строк C_3 и будет составлять множество строк C_w подматрицы W , а множество всех столбцов, покрывающих множество строк C_w , – множество столбцов K_w . При этом множество столбцов K_2 будет составлять покрытие X_w подматрицы W .

Продemonстрируем работу алгоритма на примере матрицы M , представленной ниже:

M

| | A | B | C^* | D | E^* | F | G^* | H | I^* | J | K^* | L | M | N^* | O^* | P | Q^* |
|----|-----|-----|-------|-----|-------|-----|-------|-----|-------|-----|-------|-----|-----|-------|-------|-----|-------|
| 1 | 0 | 0 | 0 | 0 | 0 | 0 | 0 | 0 | 0 | 0 | 0 | 0 | 0 | 0 | 1 | 1 | 0 |
| 2 | 0 | 0 | 0 | 0 | 0 | 0 | 0 | 0 | 1 | 0 | 1 | 0 | 0 | 0 | 0 | 0 | 0 |
| 3 | 0 | 1 | 1 | 0 | 0 | 0 | 0 | 0 | 0 | 0 | 0 | 0 | 0 | 0 | 0 | 0 | 0 |
| 4 | 0 | 0 | 1 | 1 | 0 | 0 | 0 | 0 | 0 | 0 | 0 | 0 | 0 | 0 | 0 | 0 | 0 |
| 5 | 0 | 0 | 0 | 0 | 1 | 0 | 0 | 0 | 0 | 1 | 0 | 0 | 0 | 0 | 0 | 0 | 0 |
| 6 | 1 | 0 | 0 | 0 | 0 | 0 | 1 | 0 | 0 | 0 | 0 | 0 | 0 | 0 | 0 | 0 | 0 |
| 7 | 0 | 0 | 0 | 0 | 1 | 0 | 0 | 1 | 0 | 0 | 0 | 0 | 0 | 0 | 0 | 0 | 0 |
| 8 | 1 | 1 | 0 | 0 | 0 | 0 | 0 | 0 | 1 | 0 | 0 | 0 | 0 | 0 | 0 | 0 | 0 |
| 9 | 0 | 0 | 0 | 0 | 0 | 1 | 0 | 0 | 0 | 0 | 1 | 1 | 0 | 0 | 0 | 0 | 0 |
| 10 | 0 | 0 | 0 | 0 | 0 | 0 | 1 | 0 | 0 | 0 | 0 | 0 | 1 | 0 | 0 | 0 | 0 |
| 11 | 0 | 0 | 0 | 0 | 0 | 0 | 0 | 0 | 0 | 0 | 0 | 0 | 0 | 1 | 1 | 0 | 0 |
| 12 | 0 | 0 | 0 | 0 | 0 | 1 | 0 | 0 | 0 | 1 | 0 | 0 | 0 | 1 | 0 | 0 | 0 |
| 13 | 0 | 0 | 0 | 0 | 0 | 0 | 0 | 1 | 0 | 0 | 0 | 0 | 0 | 0 | 0 | 1 | 1 |
| 14 | 0 | 0 | 0 | 1 | 0 | 0 | 0 | 0 | 0 | 0 | 0 | 1 | 1 | 0 | 0 | 0 | 1 |
| 15 | 0 | 0 | 1 | 0 | 0 | 0 | 0 | 0 | 0 | 0 | 0 | 0 | 0 | 0 | 1 | 0 | 0 |

На первом этапе алгоритма нахождения столбцового покрытия матрицы M найдем первое покрытие матрицы M с помощью минимаксного алгоритма.

Шаг 1. Одной из строк с минимальным числом единиц (1–7, 10, 11, 15) является строка 1. Из покрывающих ее столбцов максимальное число строк покрывает столбец O . Включаем столбец O в покрытие и удаляем его из матрицы со всеми строками, которые он покрывает.

Шаг 2. Из оставшихся строк минимальное число единиц имеют несколько строк. Одна из них строка 2, ее покрывают два столбца I и K . Каждый из этих столбцов покрывает по две строки. Включаем в покрытие любой из них (например, столбец K).

Шаг 3. Из оставшихся строк находим строку 3 и включаем в покрытие столбец C .

Шаг 4. Из оставшихся строк находим строку 5 и включаем в покрытие столбец E .

Шаг 5. Из оставшихся строк находим строку 6 и включаем в покрытие столбец G .

Шаг 6. Из оставшихся строк находим строку 13 и включаем в покрытие столбец Q .

Шаг 7. Для покрытия оставшихся двух непокрытых строк 8 и 12 включаем любые покрывающие их столбцы (например, столбцы I и N).

По завершении минимаксного алгоритма будет получено покрытие матрицы M $X_m = \{O, K, C, E, G, Q, I, N\}$.

На втором этапе алгоритма найдем все тупиковые покрытия подматрицы W . Алгоритм выбора подматрицы W из матрицы M продемонстрируем на примере матрицы M , столбцы которой, помеченные символом *, являются первым покрытием, найденным с помощью минимаксного алгоритма.

Шаг 1. Включаем в подматрицу W столбец Q , который входит в покрытие.

Шаг 2. Для столбца Q находим множество строк C_1 , для которых этот столбец является критическим ($C_1 = \{13, 14\}$).

Шаг 3. В множество K_1 включаем все столбцы, покрывающие строки множества C_1 ($K_1 = \{D, H, L, M, P, Q\}$).

Шаг 4. Находим множество строк C_2 , которые покрываются столбцами из множества K_1 ($C_2 = \{1, 4, 7, 9, 10, 13, 14\}$).

Шаг 5. Находим множество столбцов K_2 , покрывающих строки множества C_2 и являющихся столбцами покрытия X_m ($K_2 = \{C, E, G, K, O, Q\}$).

Шаг 6. Удаляем из множества K_2 столбцы C, E, G , так как они являются критическими для строк 3, 5, 6 соответственно, а эти строки не принадлежат множеству C_2 ($K_2 = \{K, O, Q\}$).

Шаг 7. Находим множество строк $C_3 \subseteq C_2$, которые покрываются всеми столбцами множества K_2 ($C_3 = \{1,9,13,14\}$). Строки 1, 9, 13, 14 со всеми покрывающими их столбцами и будут составлять подматрицу W , представленную ниже:

$$\begin{array}{c}
 W \\
 \mathbf{D \ F \ H \ K^* \ L \ M \ O^* \ P \ Q^*} \\
 \mathbf{1} \ 0 \ 0 \ 0 \ 0 \ 0 \ 0 \ 1 \ 1 \ 0 \\
 \mathbf{9} \ 0 \ 1 \ 0 \ 1 \ 1 \ 0 \ 0 \ 0 \ 0 \\
 \mathbf{13} \ 0 \ 0 \ 1 \ 0 \ 0 \ 0 \ 0 \ 1 \ 1 \\
 \mathbf{14} \ 1 \ 0 \ 0 \ 0 \ 1 \ 1 \ 0 \ 0 \ 1
 \end{array}$$

Подматрица W содержит покрытие $X_w = \{K, O, Q\}$, которое является частью общего покрытия $X_m = \{O, K, C, E, G, Q, I, N\}$. Решая задачу покрытия для подматрицы W путем поиска всех минимальных покрытий, найдем покрытие $X_{new} = \{L, P\}$. Очевидно, что покрытие подматрицы W новым покрытием X_{new} улучшает общее покрытие X_m матрицы M .

4. Поиск всех минимальных покрытий подматрицы

Следует отметить, что для улучшения решения покрытия подматрицы достаточно найти одно минимальное покрытие, однако часто возникает ситуация, когда для некоторой подматрицы не удастся улучшить решение. В таком случае из всех минимальных покрытий подматрицы надо выбрать какое-то одно, которое может оказаться предпочтительнее, чем существующее решение. Каждому из минимальных покрытий подматрицы X_{w_i} присваивается *внешний коэффициент* $\Omega(X_{w_i})$, который равен числу строк множества $C \not\subseteq C_w$ матрицы M , покрываемых столбцами покрытия X_{w_i} , где C_w – множество строк подматрицы W . Предпочтение отдается минимальному покрытию X_{w_i} с максимальным коэффициентом Ω .

Алгоритм поиска всех минимальных покрытий подматрицы W представляет собой обход дерева покрытий (рис. 1), на каждом шаге которого покрывается еще непокрытая строка. Для сокращения обхода дерева покрытий применяется процедура определения избыточности, что приводит к сокращению времени поиска минимального покрытия. Проиллюстрируем работу алгоритма на более наглядном примере подматрицы W^* :

$$\begin{array}{c}
 W^* \\
 \mathbf{a \ b \ c \ d \ e \ f \ g} \\
 \mathbf{1} \ 1 \ 0 \ 1 \ 0 \ 0 \ 0 \ 0 \\
 \mathbf{2} \ 1 \ 1 \ 0 \ 0 \ 1 \ 0 \ 0 \\
 \mathbf{3} \ 0 \ 1 \ 0 \ 1 \ 0 \ 0 \ 0 \\
 \mathbf{4} \ 0 \ 0 \ 1 \ 1 \ 0 \ 1 \ 0 \\
 \mathbf{5} \ 0 \ 0 \ 0 \ 0 \ 1 \ 0 \ 1 \\
 \mathbf{6} \ 0 \ 0 \ 0 \ 0 \ 0 \ 1 \ 1
 \end{array}$$

В начале алгоритма для покрытия строки 1 включаем в покрытие столбец a . Переходим к строке 3 (так как строка 2 уже покрыта столбцом a) и для ее покрытия включаем столбец b . Переходим к строке 4. Пробуем включить в покрытие столбец c , но он не может быть включен, так как при этом столбец a окажется избыточным, поскольку покрывает только строки 1 и 2, которые уже покрыты столбцами c и b . Поэтому, чтобы покрыть строку 4, попытаемся включить в покрытие следующий покрывающий ее столбец d . Этот столбец тоже не может быть включен в покрытие, потому что окажется избыточным столбец b . Для покрытия строки 4 включаем в покрытие столбец f . Осталось покрыть только строку 5, которую покрываем столбцом e . Таким образом найдено первое безыбыточное покрытие $\{a, b, f, e\}$. После наход-

дения безызбыточного покрытия идем в обратном направлении. Последняя покрытая строка 5 была покрыта столбцом e . Удаляем столбец e из покрытия и покрываем строку 5 столбцом g . Следующее найденное покрытие – $\{a, b, f, g\}$.

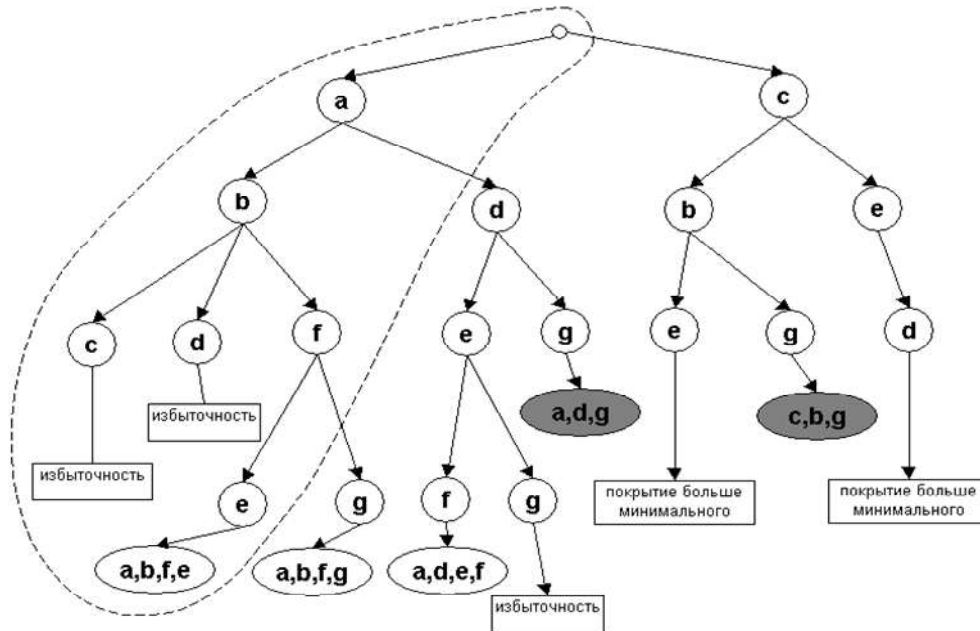


Рис. 1. Дерево перебора покрытий

Описанным способом последовательно находим следующие покрытия матрицы, которые будем получать в таком порядке: $\{a, b, f, e\}$, $\{a, b, f, g\}$, $\{a, d, e, f\}$, $\{a, d, g\}$. Последнее найденное покрытие $\{a, d, g\}$ содержит всего три столбца, поэтому при поиске следующих покрытий нет необходимости выбирать покрытия, содержащие более трех столбцов. Для данной подматрицы находим еще одно покрытие $\{c, b, g\}$, содержащее три столбца. Среди всех покрытий матрицы два покрытия $\{a, d, g\}$, $\{c, b, g\}$ являются минимальными (рис. 1).

5. Процедура определения избыточности

Перед началом обхода дерева покрытий каждому столбцу подматрицы присваивается коэффициент избыточности ψ , который равен числу строк, покрываемых столбцом. После каждого включения столбца k_i в покрытие выполняется процедура определения избыточности, которая пересчитывает коэффициент избыточности для столбцов S_{k_i} , покрывающих те же строки, что и столбец k_i . Коэффициент избыточности столбца $k_j \in S_{k_i}$ равен числу строк, которые покрываются столбцом k_j и при этом не покрыты столбцами, включенными в покрытие. Если для некоторого включенного в покрытие столбца k_j коэффициент избыточности равен нулю, то столбец k_i нецелесообразно включать в покрытие, так как оно окажется избыточным. На рис. 2 отображена часть дерева перебора покрытий из рис. 1, обведенная пунктирной линией. На этом дереве показан поиск первого безызбыточного покрытия $\{a, b, f, e\}$ подматрицы W^* , состоящий из нескольких шагов:

Шаг 1. Присваиваем коэффициенту избыточности всех столбцов число 2, равное числу строк, покрываемых каждым столбцом.

Шаг 2. Включив в покрытие столбец a , процедура определения избыточности пересчитывает коэффициент избыточности для столбцов $S_a = \{b, c, e\}$.

Шаг 3. Включаем в покрытие столбец b .

Шаг 4. При включении в покрытие столбца c оказывается, что $\psi(a) = 0$. Поэтому удаляем из покрытия столбец c и возвращаемся по дереву на один уровень вверх (к вершине b).

Шаг 5. При включении в покрытие столбца d оказывается, что $\psi(b) = 0$. Удаляем из покрытия столбец d .

Шаг 6. Включаем в покрытие столбец f .

Шаг 7. Включив в покрытие столбец e , получаем первое безызбыточное покрытие $\{a, b, f, e\}$.

Процедура определения избыточности позволяет сократить время поиска минимального покрытия подматрицы.

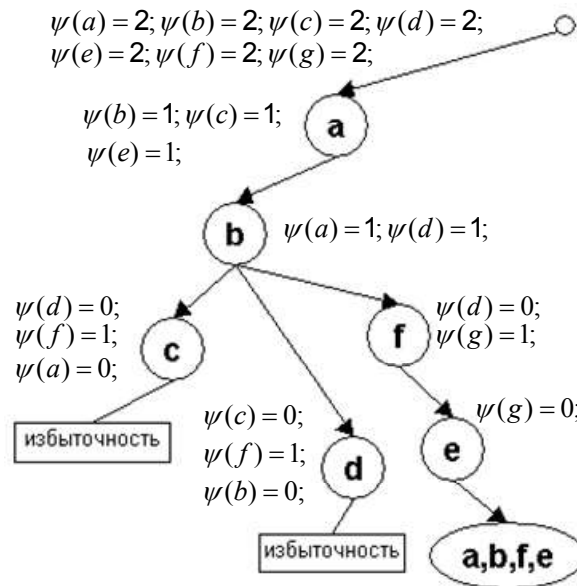


Рис. 2. Процедура определения избыточности

6. Экспериментально-статистические испытания алгоритма

Алгоритм покрытия булевой матрицы, являющийся частью алгоритма минимизации булевых функций в классе ДНФ, реализован в программе Tie [2]. Сравнение эффективности алгоритма покрытия проводилось на персональном компьютере с процессором Intel Pentium 4 с тактовой частотой 1,7 ГГц, 1024 Мб оперативной памяти. Программа Tie реализована на языке Си и протестирована на операционных системах Windows 98/2000/Хр. Объем исполняемого файла около 1 Мб.

Программа Tie была подвергнута многократным испытаниям на известных примерах серии Benchmark [4] и псевдослучайных булевых функциях, полученных с помощью параметрически управляемых генераторов [5], в экспериментах использовались примеры серий CLR и Stein [6].

В табл. 1 представлены стандартные примеры серии Benchmark для систем булевых функций в классе ДНФ. В процессе решения создается булева матрица Квайна $m \times n$, на которой и проверяется эффективность решения задачи покрытия. Для сравнения используется модифицированная программа Espresso-Qm (программа Espresso [7–9] с ключом Dqm), находящая все простые импликанты системы функций, как и программа Tie. В табл. 1 используются следующие обозначения: m – число строк матрицы; n – число столбцов матрицы; p – процентное соотношение числа единиц в матрице к общему числу элементов матрицы; k – число столбцов покрытия; t – время, затраченное на решение задачи покрытия.

Программа Tie, в отличие от программы Espresso, позволяет сохранять результаты минимизации без завершения работы программы [2]. С целью демонстрации эффективности разра-

ботанного алгоритма (по качеству и скорости получаемого покрытия) для примеров приводятся два решения. Например, для матрицы test3, состоящей из 3543 строк и 40 680 столбцов, программой Tie за 52,9 с найдено решение, состоящее из 460 столбцов, а за 7256,4 с найдено решение из 433 столбцов.

Таблица 1
Сравнение эффективности алгоритма покрытия на стандартных примерах серии Benchmark

| Пример | m | n | p | Espresso-Qm | | Tie | |
|---------|------|--------|-------|-------------|---------|---------|---------------|
| | | | | k | t, c | k | t, c |
| bench1 | 403 | 4688 | 0,513 | 125 | 2,14 | 123/121 | 1,13/3,23 |
| exam | 625 | 4694 | 1,072 | 65 | 4,45 | 65/63 | 0,509/1,349 |
| ex1010 | 1471 | 25203 | 0,268 | – | – | 256/237 | 7,65/35163,2 |
| ex5 | 7620 | 2532 | 3,225 | 68 | 7,56 | 66/65 | 1,087/3,85 |
| max1024 | 3232 | 1278 | 0,627 | 264 | 0,88 | 263/260 | 0,161/4,77 |
| test1 | 365 | 2100 | 0,635 | 111 | 0,07 | 111/110 | 0,35/57,59 |
| test2 | 7122 | 106949 | 0,082 | – | – | 900/860 | 313,3/41710,5 |
| test3 | 3543 | 40680 | 0,168 | 478 | 3121,25 | 460/433 | 52,9/7256,4 |
| test4 | 1516 | 6139 | 1,276 | 105 | 34,12 | 99/92 | 23,6/14579,8 |

Результаты испытаний программ Espresso и Tie на псевдослучайных системах булевых функций представлены в табл. 2. Для создания примеров использовался генератор псевдослучайных булевых функций [2]. Генератор, формирующий систему СДНФ, управляется следующими параметрами: x – число переменных; y – число функций в системе; z – процентное соотношение количества единиц в значениях данной системы булевых функций. В процессе минимизации строится булева матрица $m \times n$, на которой тестируется разработанный алгоритм.

Из табл. 2 видно, что программа Espresso-Qm не смогла найти решение для систем функций $f(x_1, x_2, \dots, x_n)$, где число столбцов матрицы Квайна $n > 25000$. Для этих примеров приведено время решения задачи покрытия (в скобках) и общее время минимизации. В табл. 2 даны результаты решения примеров программой Espresso, для того чтобы показать возможное решение примеров, для которых программа Espresso-Qm не нашла решения. Следует отметить, что программа Espresso создает упрощенную матрицу Квайна, поэтому для нее указано общее время минимизации.

Таблица 2
Сравнение эффективности алгоритма покрытия на псевдослучайных системах булевых функций

| Пример (f, x, y, z) | m | n | p | Espresso | | Espresso-Qm | | Tie | |
|----------------------------|---------|---------|----------|----------|---------|-------------|---------|-----------|----------------|
| | | | | k | t, c | k | t, c | k | t, c |
| f8_8_50 | 1040 | 1273 | 0,552 | 233 | 0,14 | 220 | 0,81 | 222/217 | 0,04/0,12 |
| f9_8_50 | 2129 | 3066 | 0,277 | 453 | 0,78 | 425 | 21,34 | 431/413 | 0,265/17,86 |
| f12_8_50 | 16872 | 34859 | 0,037 | 3366 | 31,34 | – | – | 3158 | 13,68(12,91) |
| f10_8_60 | 5026 | 9744 | 0,157 | 833 | 1,43 | 798 | 815,31 | 811/744 | 1,355/63,03 |
| f10_12_50 | 6319 | 10148 | 0,113 | 1002 | 1,21 | 1020 | 1266,15 | 991/967 | 0,76/8,82 |
| f11_11_30 | 6974 | 8564 | 0,056 | 1949 | 4,48 | 1910 | 101,06 | 1921/1894 | 0,880/53,07 |
| f12_4_50 | 8405 | 15414 | 0,061 | 2100 | 9,65 | 1965 | 6840,95 | 1970/1908 | 3,11/33,03 |
| f12_4_75 | 12434 | 38418 | 0,090 | 1633 | 9,26 | – | – | 1524 | 9,52(7,07) |
| f13_2_35 | 5955 | 7830 | 0,059 | 2159 | 6,10 | 2039 | 91,88 | 2044/2029 | 3,75/19,74 |
| f14_4_25 | 17354 | 22129 | 0,017 | 7044 | 87,25 | 6713 | 516,61 | 6770/6701 | 1,98/89,47 |
| f14_16_50 | 133624 | 324825 | 0,006 | 16299 | 668,96 | – | – | 16196 | 99,58(39,58) |
| f15_12_40 | 161323 | 356640 | 0,003 | 31594 | 4317,0 | – | – | 30770 | 91,88(59,49) |
| f16_8_50 | 267869 | 819668 | 0,002 | 50844 | 18365,0 | – | – | 48282 | 288,52(171,17) |
| f17_1_50 | 66694 | 155177 | 0,008 | 15721 | 2193,0 | – | – | 14844 | 79,04(53,84) |
| f18_6_25 | 410619 | 651541 | 0,001 | – | – | – | – | 138597 | 189,48(52,23) |
| f19_8_15 | 672498 | 882519 | 0,001 | – | – | – | – | 284890 | 214,56(60,48) |
| f22_4_20 | 3528659 | 5450563 | 0,000078 | – | – | – | – | 1351632 | 4538,0 |

В табл. 3 представлены результаты экспериментов на сериях примеров CLR и Stein, где m – число строк в матрице; n – число столбцов в матрице; GANP – решение, полученное алгоритмом GANP [10]; t_{GANP} – время, затраченное на поиск решения алгоритмом GANP; Tie – решение, полученное алгоритмом Tie; t_{Tie} – время, затраченное на поиск решения алгоритмом Tie.

Таблица 3

Сравнение эффективности алгоритма покрытия на примерах серий CLR и Stein

| Пример | m | n | GANP | $t_{\text{GANP}}, \text{с}$ (Pentium, 100 ГГц) | Tie | $t_{\text{Tie}}, \text{с}$ (Pentium-4, 1,7 ГГц) |
|-----------|------|-----|------|---|-----|--|
| CLR.9 | 255 | 126 | 26 | 15,32 | 26 | 0,351 |
| CLR.10 | 511 | 210 | 25 | 27,0 | 28 | 0,086 |
| CLR.11 | 1023 | 330 | 23 | 274,6 | 26 | 1,426 |
| CLR.12 | 2047 | 495 | 23 | 979,7 | 29 | 3,738 |
| CLR.13 | 4095 | 715 | 23 | 4615,4 | 29 | 26,58 |
| Stein.27 | 117 | 27 | 18 | 1,2 | 18 | 0,032 |
| Stein.45 | 330 | 45 | 30 | 12,6 | 30 | 0,234 |
| Stein.81 | 1080 | 81 | 61 | 16,6 | 61 | 0,198 |
| Stein.135 | 3015 | 135 | 104 | 212,4 | 104 | 0,379 |
| Stein.243 | 9801 | 243 | 198 | 536,1 | 198 | 34,73 |

Из табл. 3 видно, что алгоритм Tie показал хорошие результаты на серии примеров Stein, однако не нашел оптимального решения на примерах серии CLR. Это связано со специфическими свойствами матриц из примеров серии CLR.

На основании проведенных наблюдений установлено, что свойства матриц из примеров серии CLR значительно отличаются от свойств матриц, строящихся в процессе минимизации булевых функций. Так, доля единиц в матрицах серии CLR составляет около 25 %, тогда как доля единиц в матрицах, образованных при минимизации булевых функций, составляет от 0,0023 до 3,22 % (в среднем 0,6 %), т. е. матрицы Квайна являются разреженными.

Заключение

При решении задачи минимизации систем булевых функций в классе ДНФ строятся матрицы Квайна, обладающие свойством разреженности, на которые и ориентирован разработанный алгоритм. Программная реализация разработанного алгоритма покрытия и его экспериментальные испытания подтверждают высокую практическую эффективность как на серии примеров Benchmark, так и на псевдослучайных системах булевых функций. Предложенный алгоритм можно применить для решения других логических задач, которые могут быть сведены к задаче наименьшего покрытия множества.

Список литературы

1. Сапоженко, А.А. Минимизация булевых функций в классе дизъюнктивных нормальных форм / А.А. Сапоженко, И.П. Чухров // Итоги науки и техники. – М., 1987. – Т. 25. – С. 68–116.
2. Леончик, П.В. Минимизация систем булевых функций в классе дизъюнктивных нормальных форм / П.В. Леончик // Информатика. – 2006. – № 1(9). – С. 88–96.
3. Закревский, А.Д. Основы логического проектирования. Комбинаторные алгоритмы дискретной математики. Кн. 1 / А.Д. Закревский, Ю.В. Поттосин, Л.Д. Черемисинова. – Минск: ОИПИ НАН Беларуси, 2004.
4. Yang, S. Logic synthesis and optimization benchmarks user guide version 3.0. Technical Report / S. Yang. – Microelectronics Center of North Carolina, 1991.
5. Закревский, А.Д. Генераторы псевдослучайных логико-комбинаторных объектов / А.Д. Закревский, Н.Р. Торопов // Логическое проектирование: сб. науч. тр. – Минск: Ин-т техн. кибернетики НАН Беларуси, 1999. – С. 49–63.
6. Beasley, J.E. OR-Library: Distributing test problems by electronic mail / J.E. Beasley // Journal of the Operational Research Society. – 1990. – Vol. 41, № 11. – P. 1069–1072.

7. Logic Minimization Algorithms for VLSI synthesis / R.K. Brayton [et al.]. – Boston: Kluwer Academic Publishers, 1984.
8. ESPRESSO-II: a New Logic Minimizer for PLA / R.K. Brayton [et al.] // IEEE Pros. Custom Integrated Circuits Conf. – Rochester, 1984.
9. Rudel, R. Multiple-Valued Minimization for PLA Optimization / R. Rudel, A. Sangiovanni Vincentelli // IEEE Trans. Computer-Aided Des. – 1987. – Vol. CAD-6, № 5. – P. 727–751.
10. Еремеев, А.В. Генетический алгоритм для задачи о покрытии / А.В. Еремеев // Дискретный анализ и исследование операций. – 2000. – Сер. 2. – Т. 7, № 1. – С. 47–60.

Поступила 12.12.06

*Объединенный институт проблем
информатики НАН Беларуси,
Минск, Сурганова, 6
e-mail: pleonchik@gmail.com*

P.V. Liavonchyk

ALGORITHM OF SPARSE BOOLEAN MATRIX COVERING

The algorithm for solving a minimum set covering problem is presented. The problem is known as finding the minimum column covering a Boolean matrix. The comparative analysis of the effectiveness of the algorithm realized in the programme Tie, the algorithm of the programme Espresso and the algorithm GANP is suggested. The results of statistical experimental testing of the algorithms on a standard set of Benchmark series, pseudorandom Boolean function systems and on a set of CLR and Stein series are presented.